

無限弹性体中の円孔を移動する部分荷重による動的応答について

北海道大学 正員 能町純雄
室蘭工業大学 教員 松岡健一

1. まえがき 無限体中の円孔に部分分布荷重が作用するとその3次元応力解析は静的な問題につりでは既に発表した。ここでは、この動的な問題の一つの例として部分的な移動荷重が作用するとその応答に対する若干の検討を加えた。解析的基本的な考え方は静的な場合と同様で Fourier-Hankel 変換を利用して解析するものである。

2. 基礎方程式の解法 円柱座標の運動方程式は、座標を円孔軸方向に ζ 、半径方向に r 、円周方向に θ とし、それらの方向の変位成分を u , v , w , 直応力を σ_r , σ_θ , σ_z とし、せん断応力を τ_{rz} , $\tau_{\theta z}$, $\tau_{\theta r}$ とすれば

$$\begin{bmatrix} \frac{\partial}{\partial r} + \frac{1}{r} & -\frac{1}{r} & 0 \\ 0 & \frac{\partial}{r \partial \theta} & 0 \\ 0 & 0 & \frac{\partial}{\partial z} \end{bmatrix} \begin{bmatrix} \sigma_r \\ \sigma_\theta \\ \sigma_z \end{bmatrix} + \begin{bmatrix} \frac{\partial}{r \partial \theta} & 0 & \frac{\partial}{\partial z} \\ \frac{\partial}{\partial r} + \frac{2}{r} & \frac{\partial}{\partial z} & 0 \\ 0 & \frac{\partial}{r \partial \theta} & \frac{\partial}{\partial r} + \frac{1}{r} \end{bmatrix} \begin{bmatrix} \tau_{rz} \\ \tau_{\theta z} \\ \tau_{\theta r} \end{bmatrix} = \rho \begin{bmatrix} \frac{\partial^2 u}{\partial t^2} \\ \frac{\partial^2 v}{\partial t^2} \\ \frac{\partial^2 w}{\partial t^2} \end{bmatrix} \quad (1)$$

ただし、 ρ は密度、 t は時間である。

ここで、移動荷重の速度は一定速度 V で、無限遠東から無限遠東まで移動するとする。この定常状態を考えれば、この問題の動的応答は、次のように座標変換を導入することにより静的な場合と同様の手法を利用して解析することができる。すなはち

$$\zeta = z - Vt \quad (2)$$

とする。式(2)に対する偏微分は、従って

$$\frac{\partial f}{\partial t} = -V \frac{\partial f}{\partial \zeta}, \quad \frac{\partial^2 f}{\partial t^2} = V^2 \frac{\partial^2 f}{\partial \zeta^2}, \quad \frac{\partial f}{\partial z} = \frac{\partial f}{\partial \zeta}, \quad \frac{\partial^2 f}{\partial z^2} = \frac{\partial^2 f}{\partial \zeta^2}$$

となるから、この関係を(1)式に代入すれば

$$\begin{bmatrix} \frac{\partial}{\partial r} + \frac{1}{r} & -\frac{1}{r} & 0 \\ 0 & \frac{\partial}{r \partial \theta} & 0 \\ 0 & 0 & \frac{\partial}{\partial \zeta} \end{bmatrix} \begin{bmatrix} \sigma_r \\ \sigma_\theta \\ \sigma_z \end{bmatrix} + \begin{bmatrix} \frac{\partial}{r \partial \theta} & 0 & \frac{\partial}{\partial \zeta} \\ \frac{\partial}{\partial r} + \frac{2}{r} & \frac{\partial}{\partial \zeta} & 0 \\ 0 & \frac{\partial}{r \partial \theta} & \frac{\partial}{\partial r} + \frac{1}{r} \end{bmatrix} \begin{bmatrix} \tau_{rz} \\ \tau_{\theta z} \\ \tau_{\theta r} \end{bmatrix} = \rho V^2 \frac{\partial^2}{\partial \zeta^2} \begin{bmatrix} u \\ v \\ w \end{bmatrix} \quad (3)$$

また、弾性振動を仮定すれば、Hooke の法則は(2)式を考慮して

$$\begin{bmatrix} \sigma_r \\ \sigma_\theta \\ \sigma_z \end{bmatrix} = \lambda \begin{bmatrix} \frac{(3U+\lambda)}{\partial r} + \lambda \frac{1}{r} & \lambda \frac{\partial}{r \partial \theta} & \lambda \frac{\partial}{\partial \zeta} \\ \lambda \frac{\partial}{\partial r} + (3U+\lambda) \frac{1}{r} & \frac{(3U+\lambda)}{\partial \theta} + \lambda \frac{\partial}{\partial \zeta} & 0 \\ \lambda \left(\frac{\partial}{\partial r} + \frac{1}{r} \right) & \lambda \frac{\partial}{r \partial \theta} & \frac{(3U+\lambda)}{\partial \zeta} \end{bmatrix} \begin{bmatrix} u \\ v \\ w \end{bmatrix} \quad (4)$$

$$\begin{bmatrix} \tau_{rz} \\ \tau_{\theta z} \\ \tau_{\theta r} \end{bmatrix} = \mu \begin{bmatrix} \frac{\partial}{r \partial \theta} & \frac{\partial}{\partial r} - \frac{1}{r} & 0 \\ 0 & \frac{\partial}{\partial \zeta} & \frac{\partial}{r \partial \theta} \\ \frac{\partial}{\partial \zeta} & 0 & \frac{\partial}{\partial r} \end{bmatrix} \begin{bmatrix} u \\ v \\ w \end{bmatrix} \quad (5)$$

(3)式に $L_1 = R \cos m\theta e^{inx}$, $L_2 = R \sin m\theta e^{inx}$, $L_3 = R_3 \cos m\theta e^{inx}$ を代入して、 $0 < r < \infty$, $0 < \theta < 2\pi$

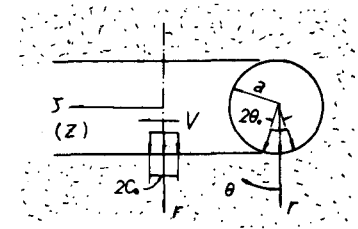


図-1

$-\infty < r < \infty$ で積分変換を行はう。ただし円孔の半径を a とし、 $m = 0, 1, \dots, n$ は実数とする。このとき Hooke の法則 (4), (5) を考慮しながら部分積分を行ない、えられた式の第 1 式と第 2 式を辺り加え

$$A_{mn} = \int_{-\infty}^{\infty} \int_0^{2\pi} \{ u \cos m\theta + v \sin m\theta \} e^{inx} d\theta ds, \quad B_{mn} = \int_{-\infty}^{\infty} \int_0^{2\pi} \{ u \cos m\theta - v \sin m\theta \} e^{inx} d\theta ds \quad (6)$$

$$\text{とおき } R = r H_{m+1}(sr) = r \{ J_{m+1}(sr) Y_m(sr) - J_m(sr) Y_{m+1}(sr) \}, \quad 3/5 \text{ 異数}$$

として積分を続けよ。また第 1 式と第 2 式を辺り減じ、(6) 式の關係を用い

$$R = r H_{m-1}(sr) = r \{ J_{m-1}(sr) Y_m(sr) - J_m(sr) Y_{m-1}(sr) \},$$

として同様に積分を行はう。第 3 式では、(6) 式の關係を代入し

$$R = r H_m(sr) = r \{ J_m(sr) Y_m(sr) - J_m(sr) Y_m(sr) \},$$

として積分変換を完成させる。ただし、 J_m, Y_m は、 m 次の第 1 種および第 2 種の Bessel 関数である。

以上により各変位成分の Fourier-Hankel 変換値を含む了元連立方程式がえられ、これを解くことにより各変位成分の Fourier-Hankel 変換値が求まる。

3. 変位および応力成分 各変位成分は、ス. でえられた各変位成分の Fourier-Hankel 変換値を逆変換することにより、円孔面の変位および応力の Fourier 変換値を積分定数として含む形で求められる。

$$u = \frac{1}{2\pi^2} \sum_{m=0}^{\infty} c_m \int_{-\infty}^{\infty} (A_{mn} + B_{mn}) \cos m\theta \cdot e^{-inx} dm, \quad (7)$$

$$v = \frac{1}{2\pi^2} \sum_{m=1}^{\infty} \int_{-\infty}^{\infty} (A_{mn} - B_{mn}) \sin m\theta \cdot e^{-inx} dm, \quad (8)$$

$$w = \frac{1}{2\pi^2} \sum_{m=0}^{\infty} c_m \int_{-\infty}^{\infty} W_{mn} \cos m\theta \cdot e^{-inx} dm, \quad (9)$$

$$\begin{aligned} A_{mn} &= \frac{1}{2\mu m} X_{mp}(mr) \{ \alpha_{mna} + 2\mu(m+1) A_{mna} + 2\mu(m-1) B_{mna} + \mu n^2 E_{mna} \} \\ &+ \left\{ \left(\frac{\mu}{2\mu+\lambda} - \frac{\mu}{\rho V^2} \right) \frac{1}{n_p} X_{mp}(m_p r) + \frac{\mu}{\rho V^2} \frac{1}{m_e} X_{me}(m_e r) \right\} \left\{ \frac{1}{2\mu} \beta_{mna} + (m+1) A_{mna} - (m-1) B_{mna} \right. \\ &\quad \left. - i n E_{mna} \right\}, \end{aligned} \quad (10)$$

$$\begin{aligned} B_{mn} &= -\frac{1}{2\mu m_e} X_{me}(m_e r) \{ \alpha_{mna} + 2\mu(m+1) A_{mna} + 2\mu(m-1) B_{mna} - i n E_{mna} \} \\ &+ \left\{ \left(\frac{\mu}{2\mu+\lambda} - \frac{\mu}{\rho V^2} \right) \frac{1}{m_p} X_{mp}(m_p r) + \frac{\mu}{\rho V^2} \frac{1}{m_e} X_{me}(m_e r) \right\} \left\{ \frac{1}{2\mu} \beta_{mna} + (m+1) A_{mna} \right. \\ &\quad \left. - (m-1) B_{mna} - i n E_{mna} \right\}, \end{aligned} \quad (11)$$

$$W_{mn} = G_m(mr) E_{mna} + \frac{2\mu c}{\rho V^2 n} \{ G_m(m_p r) - G_m(m_e r) \} \left\{ \frac{1}{2\mu} \beta_{mna} + (m+1) A_{mna} - (m-1) B_{mna} - i n E_{mna} \right\}, \quad (12)$$

ここで、 μ, λ は Lamé の弾性定数、 $c_m = \frac{1}{2}$ for $m=0$, $c_m = 1$ for $m \neq 0$.

$$G_m(mr) = -\frac{K_m(mr)}{K_m(ma)}, \quad X_{mp}(mr) = -\frac{K_{m+1}(mr)}{K_m(ma)}, \quad X_{me}(mr) = -\frac{K_{m-1}(mr)}{K_m(ma)},$$

$K_m(mr)$ は m 次の第 2 種変形 Bessel 関数であり、 $m_p = m(1 - \rho V^2 / 2\mu + \lambda)$, $m_e = m(1 - \rho V^2 / \mu)$ 、また、式中の、 α_{mna} , β_{mna} , A_{mna} , B_{mna} , E_{mna} は円孔面の応力および変位の Fourier 変換値で、

$$\alpha_{mna} = \int_{-\infty}^{\infty} \int_0^{2\pi} T_r(r=a) \cos m\theta \cdot e^{inx} d\theta dr, \quad \beta_{mna} = \int_{-\infty}^{\infty} \int_0^{2\pi} \tilde{T}_r(r=a) \cos m\theta \cdot e^{inx} d\theta dr,$$

$$A_{mna} = A_{mn} \Big|_{r=a}/a, \quad B_{mna} = B_{mn} \Big|_{r=a}/a, \quad E_{mna} = \int_{-\infty}^{\infty} \int_0^{2\pi} w(r=a) \cos m\theta \cdot e^{inx} d\theta dr,$$

これらの定数は、境界条件を満足するよう決定する。

次に各応力成分は、(7)～(12) 式を Hooke の法則 (4), (5) 式に代入し

$$\Omega_r = \frac{1}{2\pi^2} \sum_{m=0}^{\infty} C_m \int_{-\infty}^{\infty} \left\{ 2\mu \left(\frac{\partial}{\partial r} A_{mnr} + \frac{\partial}{\partial r} B_{mnr} \right) + \lambda \cdot \Delta \right\} e^{-inx} \cos m\theta \, dn, \quad (13)$$

$$\Omega_\theta = \frac{1}{2\pi^2} \sum_{m=0}^{\infty} C_m \int_{-\infty}^{\infty} \left\{ 2\mu \left(\frac{m+1}{r} A_{mnr} - \frac{m-1}{r} B_{mnr} \right) + \lambda \cdot \Delta \right\} e^{-inx} \sin m\theta \, dn, \quad (14)$$

$$\Omega_z = \frac{1}{2\pi^2} \sum_{m=0}^{\infty} C_m \int_{-\infty}^{\infty} \left\{ -2\mu c' n W_{mnr} + \lambda \cdot \Delta \right\} e^{-inx} \cos m\theta \, dn, \quad (15)$$

$$T_{r\theta} = \frac{1}{2\pi^2} \sum_{m=1}^{\infty} \int_{-\infty}^{\infty} \mu \left\{ \frac{\partial}{\partial r} A_{mnr} - \frac{\partial}{\partial r} B_{mnr} - \frac{m+1}{r} A_{mnr} - \frac{m-1}{r} B_{mnr} \right\} e^{-inx} \sin m\theta \, dn, \quad (16)$$

$$T_{\theta z} = \frac{1}{2\pi^2} \sum_{m=0}^{\infty} \int_{-\infty}^{\infty} \mu \left\{ -\frac{m}{r} W_{mnr} - c' n (A_{mnr} - B_{mnr}) \right\} e^{-inx} \sin m\theta \, dn, \quad (17)$$

$$T_{rz} = \frac{1}{2\pi^2} \sum_{m=0}^{\infty} C_m \int_{-\infty}^{\infty} \mu \left\{ \frac{\partial}{\partial r} W_{mnr} - c' n (A_{mnr} + B_{mnr}) \right\} e^{-inx} \cos m\theta \, dn, \quad (18)$$

$$\Delta = \frac{2\mu}{2\mu + \lambda} G_m(\alpha_p r) \left\{ \frac{1}{2\mu} \beta_{mna} + (m+1) A_{mna} - (m-1) B_{mna} - c' n E_{mna} \right\}, \quad (19)$$

また、 $\frac{\partial}{\partial r} X_{mp}(mr) = \alpha G_m(mr) - \frac{m+1}{r} X_{mp}(mr), \quad \frac{\partial}{\partial r} X_{me}(mr) = m G_m(mr) + \frac{m-1}{r} X_{me}(mr),$

$$\frac{\partial}{\partial r} G_m(mr) = \alpha X_{mp}(mr) + \frac{m}{r} G_m(mr),$$

4. 境界条件 円孔に移動荷重が作用するときの境界条件は、円孔面で

$$i) T_{r\theta} = 0, \quad \therefore d_{mna} = 0, \quad (20)$$

$$ii) \Omega_r = p(\theta, z), \quad \therefore \beta_{mna} = \int_0^\pi p \cos m\theta e^{inz} d\theta dz, \quad (21)$$

$$iii) T_{rz} = 0, \quad (22)$$

$$\begin{aligned} & \therefore \frac{m n}{n^2 a} \left\{ 2\mu(m+1) A_{mna} + 2\mu(m-1) B_{mna} \right\} \\ & + 2\mu \left[-\left\{ \frac{\mu}{2\mu + \lambda} - \frac{\mu}{\rho V_s^2} \left(\frac{m}{\alpha_p} + \frac{m}{\alpha_e} \right) \right\} (X_{mp}(\alpha_p a) \right. \\ & \left. + \frac{m}{\alpha_p a}) - \frac{m}{\rho V_s^2} \left(\frac{m}{\alpha_e} + \frac{m}{\alpha} \right) (X_{mp}(\alpha_e a) + \frac{m}{\alpha_e a}) \right] \\ & \times \left\{ \frac{1}{2\mu} \beta_{mna} + (m+1) A_{mna} - (m-1) B_{mna} - c' n E_{mna} \right\} \\ & - c' \mu \left(\frac{m}{\alpha_e} + \frac{m}{\alpha} \right) (X_{mp}(\alpha_e a) + \frac{m}{\alpha_e a}) E_{mna} = 0, \quad (22') \end{aligned}$$

となるが、さらに A_{mnr}, B_{mnr} については式の仮定から

$$A_{mna} = A_{mnr}|_{r=a}/a, \quad B_{mna} = B_{mnr}|_{r=a}/a, \quad (23)$$

を満足しなければならない。

以上 (22') 式および (23) の 2 式から、未知定数 $A_{mna}, B_{mna}, E_{mna}$ を決定することができます。

5. 数値計算 まず軸対称荷重で、 $\mu = \lambda = 0.4 E$ (E : 弹性係数) に対して荷重分布巾 C_0 を種々変化せしめ場合の荷重速度と、円孔周辺の変位および応力の関係を求めた。

図-2, 3 には、変位 u , w に対する荷重の速度比 (せん断波の速度 V_s との比) と各変位の応答倍率との関係を示した。変位の絶対値は、半径方向変位 u の方が大きく $V_s^2/V_s^2 = 0.8$ でも $u/w \approx 1.3$ であるが、各速度に対する応答倍率では w の方が大きく $V_s^2/V_s^2 = 0.8$ では w は u の約 3 倍となる。また荷重巾と応答倍率の関係では

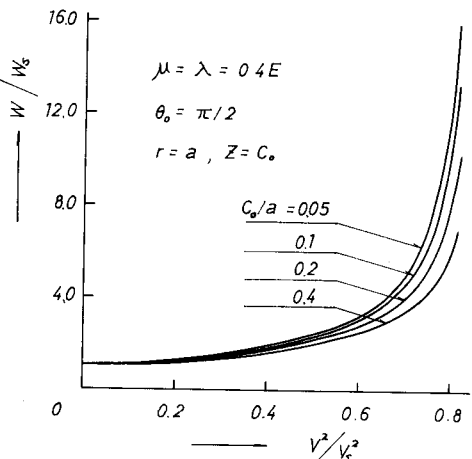
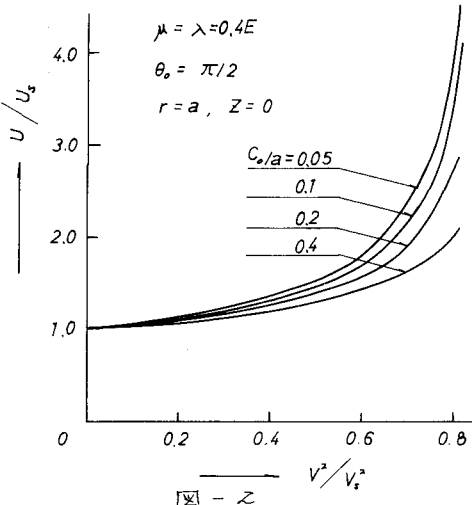


図-3

荷重巾が小さくなるほど倍率は大きくなっている。図-4、5には表面変位 U , W の又方向の分布を $C_0 = 0.4a$ のものについて、各荷重速度 μ に依したものであるが、いずれも荷重速度が速くなるに従って、変位が荷重位置に集中する傾向がみられる。図-6は、 $C_0 = 0.4a$ で一定にし、ボアソン比を変化させた場合のひずみ倍率を示したものであるが、ボアソン比の小さなものは程ややかではあるが、大きな値を示している。

次に非軸対称荷重の場合であるが、計算は $\lambda = \mu = 0.4E$ で $C_0/a = \theta = 0.4$ のものである。図-7にはこの場合の U , W の最大値の応答倍率を示した。軸対称の場合と比較してより差はないが、これが軸対称に比較してわずかに小さくなっている。図-8は、 $r = a$, $\theta = 0$ における変位 U の又方向の分布を示したものである。これも軸対称の場合と比較すると、ほとんど同様の傾向を示し、わずかに小さい値を示すようである。

以上の計算は、既に述べたとおり一区間とし、これを、Gauss の 8 分点法で 20 点または 40 点まで数値積分し、非軸対称のものについては 10 項点集めたものである。また計算は主に北海道大学大型計算機センターの FACOM 230-75 で行ない、一部を室蘭工業大学情報処理教育センターの FA CEM 230-2P で行なった。

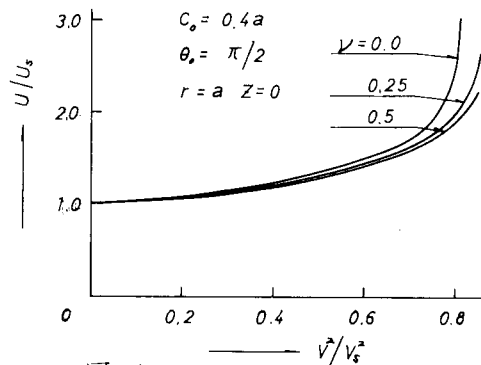


図-6

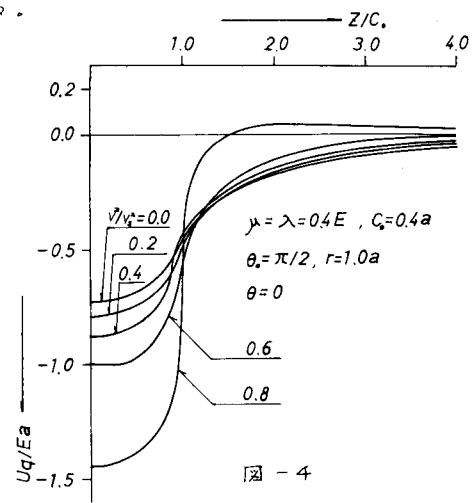


図-4

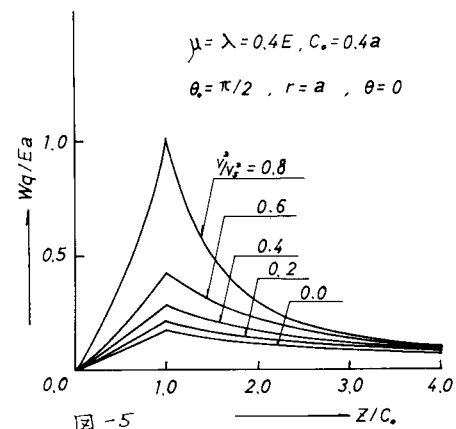


図-5

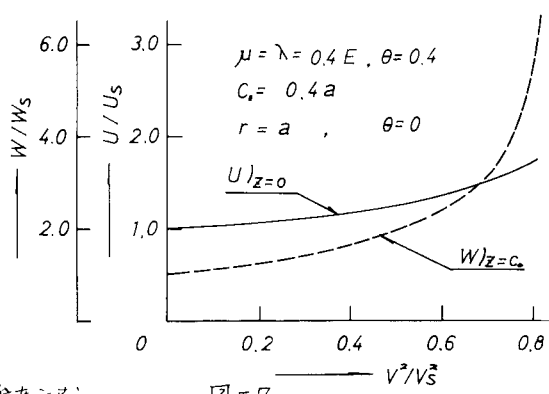


図-7

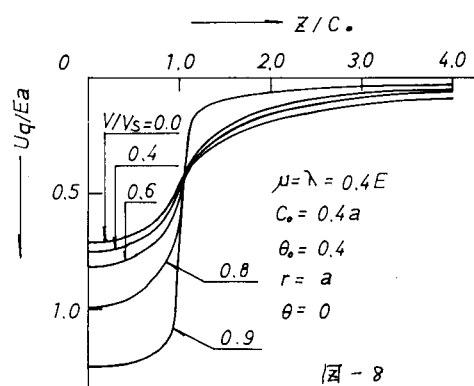


図-8

参考文献

- 1) 松岡・能町：無限体中の円孔に部分分布荷重が作用するときの3次元応力解析、土木学会論文報告集 第229号